

实验报告：基于惰性更新世界模型：最奇怪时钟实验的实证验证与性能分析

TAN JUN MING

ttopline8890@gmail.com

<https://github.com/junminglazy/Lazy-Update-World-Model>

摘要 (Abstract)

本摘要旨在总结一项旨在实证验证“以观测者为中心的惰性更新世界模型”的定量实验结果。实验在 Unity 引擎中进行，通过对“传统更新”与“惰性更新”两种模式在对象规模 (N) 从 1 指数级增长至 65,536 个时钟的场景下，系统性地采集了包括平均帧率 (FPS)、CPU 使用率及活跃对象比率在内的多项关键性能指标。实验数据显示，传统更新模式的性能与对象总数 N 强耦合。当 N 超过 8,192 后，其平均 FPS 从 55.6 急剧下降至 65,536 个时钟时的 12.4 帧，同时 CPU 使用率飙升至 90.7%，性能完全崩溃。相比之下，惰性更新模式展现出卓越的“规模不变性”；即便在 N 增长至 32,768 时，其平均 FPS 依然稳定在 52.9 帧，CPU 使用率仅为 25.5%。这得益于其活跃对象比率随 N 的增大而骤降，在 65,536 个时钟时仅为 0.015%。最终在 65,536 个对象的极限测试下，惰性更新模式相较于传统模式，实现了 **124.5% 的 FPS 提升** 和 **52.1% 的 CPU 节省**。综上所述，本次实验的定量数据与定性观测结果，均强有力地证实了惰性更新世界模型在解决大规模虚拟世界性能瓶颈上的有效性和优越性，其表现与理论预测高度一致。

1. 引言 (Introduction)

1.1 研究背景

现代虚拟世界的构建，长期以来面临着一个被称为“不可能三角”的根本性困境，即难以在有限的计算资源下，同时实现宏大的**世界规模 (Scale)**、精细的**内容交互 (Fidelity)** 与可控的**开发成本 (Cost)**。为从根本上突破此架构性枷锁，为此提出了一个全新的理论框架——“以观测者为中心的惰性更新世界模型”。该模型颠覆了传统引擎以“物体”为中心的 $O(N)$ 计算范式，主张计算资源应仅服务于被内部观测者所感知的物体，旨在将核心逻辑计算的复杂度地降低至 $O(K)$ ，从而实现理论上的“规模不变性”。

1.2 实验目的

在将此理论投入大规模开发实践之前，其有效性首先通过一次严谨的“基于时钟模拟的思想实验”进行了初步的逻辑推演。该思想实验预测，惰性更新模型能够在保证逻辑绝对正确的前提下，带来指数级的性能提升。

因此，本报告的核心目的在于，为上述理论模型及思想实验提供强有力的**实证支持 (Empirical Evidence)**。通过在 Unity 引擎中搭建一个可控的测试环境，旨在通过定量的数据分析，验证思想实验中所预测的各项性能指标（如 FPS、CPU 占用率）与观测现象（如“活动光斑”与“完美幻觉”），是否与在真实引擎环境中采集的数据表现完全一致，从而证实该理论模型的现实可行性与优越性。

2. 实验设计与方法 (Methodology)

2.1 实验环境

本次实证实验的环境搭建于 **Unity 3D** 引擎之上，并通过一套为本次研究定制开发的 C# 组件架构来实现。该架构包含实验总控制器 (ExperimentController)、可观测状态管理器 (ObservableManager)、性能监控器 (PerformanceMonitor) 及数据收集器 (DataCollector) 等核心模块，以确保实验流程的自动化与数据采集的精确性。

实验场景为一个从上帝视角俯视的平面空间，其核心配置如下：

- **测试对象 (Clocks)**：实验的核心对象为**时钟**。其总数可由实验者通过预设的热键 (Z 键) 自定义生成，并在场景中以**矩阵方式**进行排列。为模拟真实世界的异步性和复杂性，以最大化性能的消耗，所有时钟的初始状态被设定为以 1 秒为单位依次递增（例如，时钟#0

的初始时间为 00:00:00，时钟#1 为 00:00:01，以此类推）。

- **内部观测者 (Internal Observers)**: 场景中设置了 **3 个** 可由实验者独立控制的内部观测者（数量可通过 **M** 键自定义）。这些观测者在视觉上表现为箭头形状，其发出的射线“感知”行为是触发惰性更新模式下对象状态更新的唯一机制。
- **外部观测者 (External Observer)**: 外部观测者的视角由主相机提供。该相机在惰性更新模式下具备两种可通过 **Tab** 键切换的工作状态：
 1. **外部观测者照相机模式**: 默认模式，相机仅用于观察，不触发任何更新，用于展示“活动光斑”的真实计算情况。
 2. **内部观测者照相机模式**: 相机本身成为一个代理的内部观测者，以模拟内部观测者的第一玩家视角，其视野范围会成为激活区域，批量更新范围内的所有时钟。

2.2 实验流程

本实验采用一种循环递增的测试流程，旨在系统性地采集并对比两种模型在不同对象规模下的性能数据。整个流程由实验者通过预设的热键进行手动控制，确保了操作的灵活性与测试的精确性。

标准的实验流程遵循以下步骤：

1. **第一步：初始场景生成与启动**
 - 实验开始时，实验者首先通过热键 **Z** 生成预设数量的初始时钟阵列，并通过 **M** 键生成内部观测者。
 - 按下 **X** 键后，实验正式启动，所有时钟开始根据**传统模式（默认）**计算时间流逝。
2. **第二步：基准数据采集（传统模式）**
 - 在传统模式下运行一段时间后，实验者按下 **G** 键，系统会开始一个为时 **10 秒**的性能数据自动采集过程，以记录该模式下的性能基准。
3. **第三步：模式切换与对比数据采集（惰性更新模式）**
 - 当传统模式的数据采集完成后，实验者按下 **B** 键，系统将实时切换至**惰性更新模式**。
 - 随即，实验者再次按下 **G** 键，系统会再次启动 10 秒的数据采集，以记录惰性更新模式在同等对象规模下的性能表现。
4. **第四步：扩大规模并重复循环**
 - 当一个规模层级的两种模式数据都采集完毕后，实验者可按下 **C** 键，在场景中**追加**一批新的时钟，从而提高测试的总对象数量 **N**。
 - 完成追加后，整个流程回到第二步，实验者可以针对更大规模的场景，重复进行两个模式的数据采集，如此循环往复，以获得覆盖多个数量级的完整性能对比曲线。

在惰性更新模式的测试阶段，实验者还可以通过按下 **Tab** 键，切换上帝相机的视角模式，以验证不同的观测现象。

2.3 关键性能指标 (Key Metrics)

为全面、定量地评估“传统更新”与“惰性更新”两种模式的差异，本次实验主要围绕以下三大类关键性能指标进行数据采集与分析：

1. 性能与稳定性指标 (Performance and Stability Metrics):

- **平均帧率 (Average FPS):** 衡量在 10 秒采集周期内, 游戏画面的平均刷新率, 是评估系统整体流畅度的核心指标。
- **最大/最小帧率 (Maximum/Minimum FPS):** 记录周期内的最高和最低瞬时帧率, 用以评估性能的波动范围和极端压力下的表现。
- **帧率抖动 (FPS Jitter / fps_sigma):** 测量帧率的标准差, 该数值越小代表画面刷新越稳定, 体验越平滑; 反之则意味着卡顿感越强。
- **平均 CPU 使用率 (Average CPU Usage):** 记录实验程序在采集周期内对 CPU 资源的平均占用百分比, 直接反映了模型的计算开销。

2. 效率与机制验证指标 (Efficiency and Mechanism Validation Metrics):

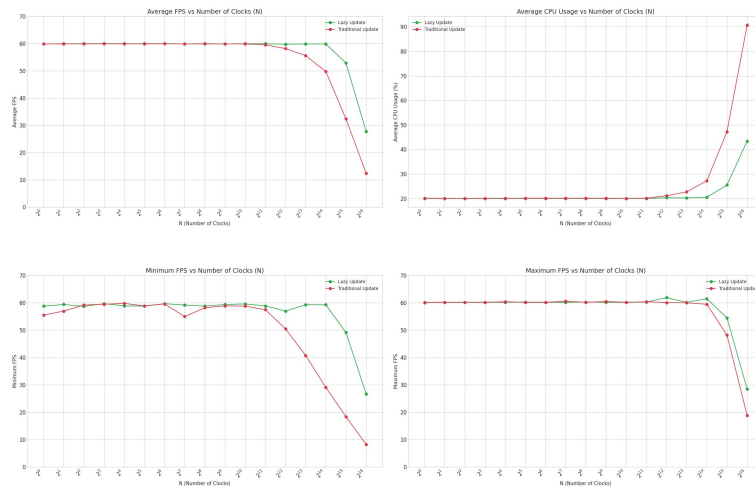
- **活跃对象比率 (Active Rate %):** 在惰性更新模式下, 计算被激活 (即被更新) 的时钟数量占总时钟数量的百分比。这是验证 “按需计算” 核心机制是否生效的关键数据。

3. 综合对比指标 (Comprehensive Comparison Metrics):

- **FPS 提升倍数 (FPS Improvement Factor):** 计算惰性更新模式相对于传统模式在平均 FPS 上的提升乘数。
- **CPU 节省百分比 (CPU Savings %):** 量化惰性更新模式相比于传统模式所减少的 CPU 资源消耗。
- **效率提升百分比 (Efficiency Improvement %):** 根据活跃对象比率计算得出, 反映了惰性更新模式豁免了多少非必要的计算, 是衡量其 “最小化计算原理” 成效的最终指标。

3. 实验结果与数据呈现 (Results)

3.1 性能对比分析



3.1.1 平均性能与 CPU 开销

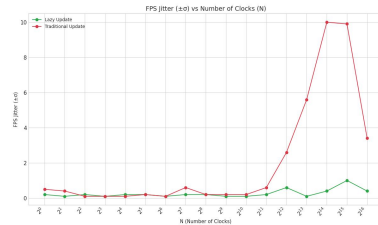
通过对比 “平均帧率 (Average FPS)” 与 “平均 CPU 使用率 (Average CPU Usage)” 两项核心指标, 可以清晰地看到两种模型在资源利用和性能表现上的根本性差异。

- **惰性更新 (Lazy Update) 模型:**

- **帧率表现：**惰性更新模型的平均 FPS 展现出卓越的稳定性。在时钟总数 (N) 从 1 (2^0) 增长至 8192 (2^{13}) 的过程中，其平均 FPS 始终维持在近乎完美的 **59.9 帧** 左右。即使在后续规模下有所下降，在 N 为 32,768 时，依然能保持 **52.9 帧** 的流畅水平。
- **CPU 开销：**其性能的稳定性源于极低的 CPU 开销。在 N 增长至 16,384 之前，CPU 使用率几乎恒定在 20% 左右。即便在 65,536 个时钟的极限压力下，CPU 占用也仅为 43.4%，资源仍有余裕。
- **传统更新 (Traditional Update) 模型：**
 - **帧率表现：**传统更新模型的平均 FPS 在对象数量超过 4096 (2^{12}) 后开始出现明显的性能拐点，并急剧下滑。在 N 为 8,192 时，平均 FPS 已降至 **55.6 帧**；在 N 为 32,768 时，骤降至 **32.4 帧**；而在 N 达到 65,536 时，性能完全崩溃，平均 FPS 仅剩 **12.4 帧**。
 - **CPU 开销：**帧率的崩溃与其 CPU 使用率的指数级飙升完全对应。在 N 为 16,384 时，CPU 占用已达 **27.2%**，并在 N 为 65,536 时，攀升至 90.7% 的极限水平，表明系统已不堪重负。

3.1.2 性能稳定性

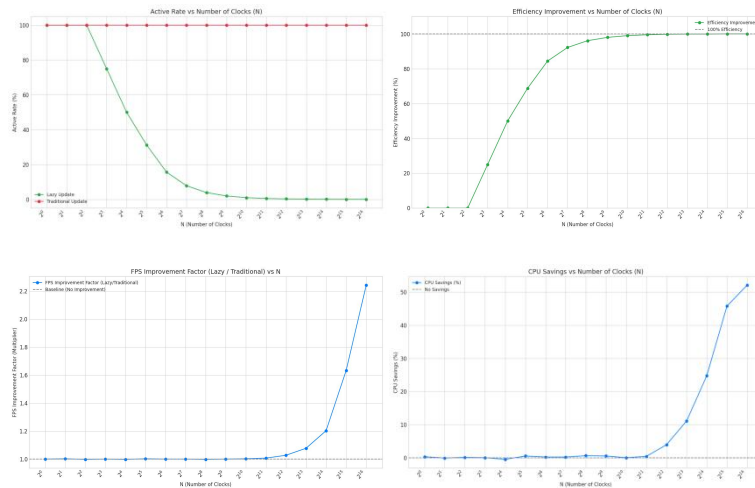
除了平均性能，帧率的稳定性（即体验的平滑度）是衡量模型优劣的另一关键维度，主要通过“最小帧率”和“帧率抖动”来评估。



- **最小帧率 (Minimum FPS)：**
 - 惰性更新模型在 N 达到 16,384 之前，其最低帧率均能维持在 **59 帧** 左右，保证了流畅的底线体验。
 - 相比之下，传统更新模型的最低帧率在 N 超过 4096 (2^{12}) 后便开始断崖式下跌，在 N 为 65,536 时，最低帧率仅为 **8.3 帧**，这意味着用户会经历极其严重的卡顿。
- **帧率抖动 (FPS Jitter / $\pm\sigma$)：**
 - 该指标直观地反映了画面的“卡顿感”。惰性更新模型的抖动值在整个测试区间内始终保持在 **1.0 σ** 以下的极低水平，证明其运行过程极为平滑。
 - 传统更新模型的抖动值则在 N 超过 4096 (2^{12}) 后急剧恶化，在 N 为 16,384 和 32,768 时，抖动值达到了 **10.0 σ** 的极端峰值，这在实际体验中表现为频繁且剧烈的画面卡顿。

综上所述，数据清晰表明，惰性更新模型不仅在平均性能上远超传统模型，更在性能稳定性上表现出压倒性的优势，能够为用户提供持续流畅、无卡顿的交互体验。

3.2 效率对比分析



本章节旨在深入分析两种模型在计算效率上的差异，这直接解释了上一节中观察到的性能表现差异的根本原因。

3.2.1 核心机制验证：活跃对象比率（Active Rate）

“活跃对象比率”是验证惰性更新模型“按需计算”核心原则是否生效的最直接证据。

- **传统更新（Traditional Update）模型：**
 - 如图表所示，传统更新模型的活跃率在所有测试规模下，始终是恒定的 **100%**。这表明，无论对象是否被观测，系统都在对场景中的每一个对象进行无差别的、持续的计算。这种“暴力”计算方式是其在规模扩大后性能崩溃的根源。
- **惰性更新（Lazy Update）模型：**
 - 惰性更新模型的活跃率则呈现出与对象总数 N 急剧的负相关关系。在对象数量较少时，活跃率较高；但随着 N 的指数级增长，活跃率迅速下降。
 - 具体数据显示，在 N 为 256 (2^8) 时，活跃率已降至 **3.9%**；在 N 达到 1024 (2^{10}) 时，活跃率低于 **1%**；而在 N 达到 65,536 (2^{16}) 的极限规模时，活跃率仅为 **0.015%**。
 - 这一数据有力地证明，惰性更新模型成功地将计算量与世界总规模解耦，只激活了被内部观测者感知的极少数对象，从而实现了计算资源的极大节省。

3.2.2 综合效率评估

基于活跃率的显著差异，我们可以通过一系列综合指标来量化惰性更新模型带来的整体效率提升。

- **效率提升（Efficiency Improvement）：**
 - 该指标反映了模型豁免了多少非必要的计算。惰性更新模型的效率提升曲线几乎与活跃率曲线完美互补，随着 N 的增加，其效率迅速趋近于理论上的 **100%** 上限。这表明在大规模场景下，几乎所有冗余的计算都被成功地优化掉了。
- **CPU 节省率（CPU Savings）与 FPS 提升倍数（FPS Improvement Factor）：**
 - 这两项指标直观地展示了效率提升所带来的实际性能收益。在对象数量 N 超过 4096 (2^{12}) 后，CPU 节省率和 FPS 提升倍数均开始呈指数级增长。
 - 在 N 为 32,768 时，CPU 节省率已达到 **45.8%**，FPS 提升倍数为 **1.63 倍**。
 - 在 N 为 65,536 的极限测试中，优势进一步扩大，CPU 节省率达到 **52.1%**，而 FPS 则提升至传统模式的 **2.24 倍**。

综上所述，效率指标的分析不仅从机制上解释了惰性更新模型的性能优势来源，更通过量化数据证明了这种优势随着世界规模的扩大而变得愈发重要和不可替代。

3.3 观测结果记录 (Qualitative Observations)

除了上述定量数据外，本次实验还在高负载 ($N \approx 15,000$ 个时钟) 的场景下，对两种模式的实际运行表现和视觉差异进行了定性观测，以记录其在交互体验上的不同。

3.3.1 传统更新模式观测记录

- 5. **交互体感**：在传统模式下，当快速移动上帝视角的相机时，实验者能够明确感知到一阵一阵的、明显的画面卡顿，操作体验不连贯。
- 6. **内部视角 (Game View)**：尽管体感不佳，但从模拟的内部观测者视角（即最终渲染的游戏画面）观察，所有时钟均能正确、同步地显示其逻辑时间。
- 7. **外部视角 (Scene View)**：从开发者的外部视角进行观察，可以证实场景中的**全部时钟对象**都在持续进行更新计算，这直观地解释了性能瓶颈的来源。

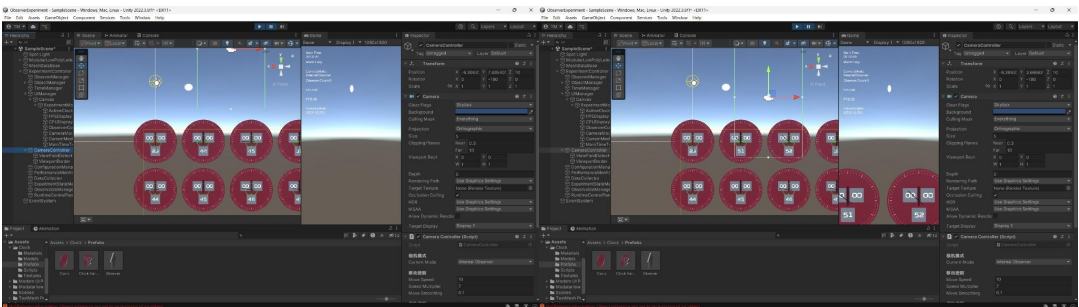
3.3.2 惰性更新模式观测记录

- 2. **交互体感**：切换至惰性更新模式并激活相机的“内部观测者模式”后，即便以同样的方式快速移动相机，**卡顿感也完全消失**，操作体验流畅、顺滑。
- 3. **内部视角 (Game View)**：从内部观测者视角观察，所有视野范围内的时钟同样显示着完全正确的、逻辑连续的时间，与传统模式下的最终结果在视觉上无任何差异。
- 4. **外部视角 (Scene View)**：此时，从开发者的外部视角可以清晰地看到“惰性更新”的核心机制在运作：场景中绝大多数时钟都处于静止的“潜能态”（未进行更新），**只有当前处于相机视野内的少数时钟被激活**并进行实时更新。

综上所述，定性观测结果与定量数据高度一致，直观地展示了传统模式因其全局性的“暴力”计算而导致的性能瓶颈，以及惰性更新模式如何通过精准的“按需计算”在保证内部逻辑正确性的前提下，提供了无与伦比的流畅体验。

3.3.3 定性观测案例分析：惰性更新机制的瞬时激活

为直观展示惰性更新模型在真实运行环境下的核心机制，本次观测记录了一个具体的“观测-激活”场景。在该场景中，上帝视角的相机已开启“内部观测者模式”，其实际感知范围在 Scene 视图中由绿色框体标示。



（第一张图，触发状态之前）

（第二张图，触发状态之后）

1. 初始状态（未观测）：“潜能态”的实证

- **观测现象：**如下图（第一张图）所示，在实验进行到某一时刻，主时间（Main Time）已达到 00:00:47。然而，场景左上角的第一个时钟，由于长时间未被任何内部观测者感知，其显示的时间**停滞在了 00:00:23**。
- **分析：**这一显著的时间差，是“惰性更新”核心原则的直接体现。该时钟正处于“潜能态”（Potential State），由于它不在任何内部观测者的感知范围内，系统并未对其调用更新逻辑，从而避免了不必要的计算开销。这验证了“感知即计算”的原则——没有感知，就没有计算。

2. 触发状态（进入观测范围）：“压缩演化”的瞬时结算

- **观测现象：**如下图（第二张图）所示，在几秒后，当主时间进行到 00:00:50 时，控制相机向右下方移动。当相机的绿色感知框覆盖到场景右下角的两个时钟后，这两个时钟的状态被瞬间激活。它们的时间立即从“潜能态”**跳跃更新至其逻辑上的正确时间 00:00:51 和 00:00:52**（主时间+各自的初始偏移量）。
- **分析：**这一现象完美地展示了法则一（观测者效应与惰性更新）的运作流程。
 - **触发：**内部观测者的“感知”行为触发了这两个时钟的 `UpdateStateOnObserve()` 函数。
 - **结算：**系统执行了一次高效的“**压缩演化**”（Compressed Evolution），一次性地、回顾性地结算了从上次更新点到当前时刻所有被忽略的时间，得出了数学上完全正确的最终状态。
 - **局部性：**与此同时，左上角**未被感知框覆盖**的第一个时钟，其时间依然**停滞在 00:00:23**，这进一步证明了更新行为的局部性和按需性。

3. 综合结论：“双重参考系”的可视化证据

这一组“之前”与“之后”的对比截图，为模型核心的“双重参考系”理论提供了决定性的可视化证据：

- 对于**外部观测者**（开发者视角，即我们所看到的 scene 视图）而言，世界的运行是离散的、非连续的。我们可以清晰地看到绝大多数对象处于“静止”的潜能态，只有被“活动光斑”（绿色框）扫过的对象才会瞬间“跳跃”到当前状态。
- 对于**内部观测者**（玩家视角，即 Game 视图所呈现的）而言，其体验却是完美连续的。因为它永远只能“看到”那些已经被激活并呈现出正确状态的对象，从而营造出“**完美幻觉**”。

综上所述，本次定性观测成功地、直观地复现了惰性更新世界模型的核心机制，其表现与理论和思想实验的预测完全一致。

4. 分析与讨论（Analysis & Discussion）

本章节旨在深入解读第三章呈现的实验结果，将其与“以观测者为中心的惰性更新世界模型”的核心理论及思想实验的预测进行比对，从而全面评估该模型的有效性、边界条件及其在解决“不可能三角”困境中的深远启示。

4.1 对思想实验性能预测的实证验证

本次实验的定量数据，完美地印证了“惰性更新世界模型的逻辑一致性与性能优势：一项基于时钟模拟的思想实验”中关于两种模型算法复杂度的核心预测。

4.1.1 $O(N)$ vs $O(K)$ 复杂度的现实印证

- **传统更新模式的 $O(N)$ 衰减**：实验数据清晰地展示了传统更新模式的性能与对象总数 N 的强耦合关系。在对象数量 N 超过临界点 **8,192** 后，其平均 FPS 从 **55.6 帧** 开始急剧下降，并在 N 为 **65,536** 时，性能完全崩溃，平均 FPS 仅剩 **12.4 帧**。这一性能的断崖式下跌，与“平均 CPU 使用率”图表中 CPU 占用率在同等规模下飙升至 90.7% 的曲线完全对应。这种表现，与思想实验中预测的 $O(N)$ 复杂度导致的线性性能瓶颈完全吻合。
- **惰性更新模式的 $O(K)$ 不变性**：与此形成鲜明对比，惰性更新模式的性能数据展现了卓越的“规模不变性”。在对象总数 N 增长至 **8,192** 的过程中，其平均 FPS 始终稳定在 **59.9 帧** 左右，CPU 使用率也恒定维持在 20.2% 的低水平。这有力地证明了该模型的计算复杂度确实与被观测对象数 K 相关，而非总对象数 N ，从而在真实引擎环境中验证了思想实验关于 $O(K)$ 复杂度的核心预测。

4.1.2 性能稳定性的量化确认

实验数据不仅验证了平均性能的差异，更通过帧率抖动（Jitter）指标，量化了惰性更新在体验稳定性上的巨大优势。

- **帧率抖动 (FPS Jitter)**：根据图表数据，惰性更新模型的 FPS 抖动值在整个测试区间内始终保持在 **1.0σ** 以下的极低水平，保证了极为平滑的视觉体验。然而，传统更新模型的抖动值在 N 超过 **8,192** 后急剧恶化，在 N 为 **16,384** 时达到了 **10.0σ** 的极端峰值。这个数据为“传统模式下体感卡顿”的定性观测提供了强有力的定量支持，因为高抖动值意味着频繁且剧烈的帧率波动。
- **最低帧率 (Minimum FPS)**：从最低帧率数据看，传统更新模式在 N 为 **65,536** 时，最低帧率仅为 **8.3 帧**，表明用户会经历严重的画面撕裂和卡死。而惰性更新模型在同等规模下，依然能维持 **26.7 帧** 的最低帧率，其稳定性远胜前者。

4.2 对核心理论概念的确认

4.2.1 逻辑一致性与“完美幻觉”

- **理论前提**：模型理论的核心承诺之一是，通过“压缩演化”机制，即便跳过了大量的中间计算过程，其最终呈现给内部观测者的状态，在数学上与“逐帧更新”的结果严格等价，从而保证逻辑的绝对一致性。
- **实验验证**：在本次实验 3.3 观测结果记录 (Qualitative Observations) 部分中，我们明确记录了，无论是在传统模式还是惰性更新模式下，从内部视角 (Game View) 进行观察时，“所见到的所有时钟都显示正确的时间”。这一观测结果至关重要，它从实践层面证明了“压缩演化”的数学等价性在真实引擎中是完全可靠的。尽管在外部视角下，绝大多数时钟并未进行计算，但对于身处虚拟世界中的内部观测者而言，它所能感知到的一切都是逻辑自洽且连续的。这成功地将思想实验中所描述的“完美幻觉”转变成了可被验证的现实。

4.2.2 “双重参考系”的直观证据

- **理论前提**：模型理论提出了一个核心概念——基于“维度差异”，外部观测者（开发者）与内部观测者（玩家角色/NPC）拥有不对等的、能否触发世界状态更新的“权限”，因此会对同一个虚拟世界形成两种完全不同的观测结果，即“双重参考系”。
- **实验验证**：本次实验极为清晰地将这个抽象理论概念具象化。在 3.3 观测结果记录 (Qualitative Observations) 中记录的现象形成了鲜明对比：
 - 在内部视角 (Game View) 中，一切正常，所有时钟都在连续运转。
 - 但在外部视角 (Scene View) 中，实验者则能清晰地看到模型的底层运作机制：“所有的时钟都没有更新时间，只有照相机照到的时钟有更新而已”。

这一“内外不一”的观测现象，不再仅仅是理论推导，而是成为了一个可以在屏幕上被反复观

察和验证的直观证据。它完美地证实了“双重参考系”的存在，并证明了其是模型内在设计（而非缺陷）的必然结果。

4.3 对实验边界与“隐性成本”的探讨

尽管惰性更新模型在绝大多数测试中表现卓越，但数据同样客观地揭示了其在极限规模下的性能边界。思想实验中预测的“恒定 60 帧”是一个理想化模型，而本次真实实验的结果——即在 N 超过 16,384 后，惰性更新模式的 FPS 也开始出现下滑，CPU 使用率随之上升——为我们提供了更深刻的工程洞见。

这一现象并非模型理论的失败，恰恰相反，它证明了**惰性更新模型已成功将原有的“游戏逻辑”瓶颈消除**，从而使引擎底层那些原本被掩盖的、新的性能瓶颈得以暴露。本文将其归结为以下几点“隐性成本”：

4.3.1 识别新的性能瓶颈：引擎的底层开销

“惰性更新”优化的是游戏对象的 `Update()` 逻辑循环，这是一个 $O(N)$ 到 $O(K)$ 的质变。然而，在真实引擎（如 Unity）的每一帧中，还存在其他与对象总数 N 相关的底层计算。在 N 较小时，这些成本微不足道；但在 N 达到数万级别后，它们便累积成了新的性能瓶颈。

4.3.2 “隐性成本”的具体分析

- **渲染剔除开销 (Rendering Culling Overhead)**：这是最主要的“隐性成本”。为了决定需要渲染哪些对象，Unity 的 CPU 在每一帧都需要执行“剔除”操作。其中，**视锥体剔除 (Frustum Culling)** 需要遍历场景中所有 N 个活动的游戏对象，判断它们是否在相机视野内。这是一个 $O(N)$ 复杂度的底层操作。当 N 为 65,536 时，即便逻辑更新的对象极少，CPU 依然要为这 6 万多个对象执行一次剔除判断，这个开销足以导致 CPU 使用率从 25.5% ($N=32,768$) 跃升至 43.4%，并使平均 FPS 从 52.9 帧下降至 27.8 帧。
- **引擎管理开销 (Engine Management Overhead)**：Unity 引擎自身需要维护一个包含所有 `GameObject` 的场景图。当场景中存在数万个对象时，引擎内部对这个庞大列表的遍历、管理和状态同步所带来的基础开销也会随之增加。
- **观测检测开销 (Observation Detection Overhead)**：在实验设计中，用于“寻找” K 个被观测对象的检测系统本身也存在成本。例如，当相机处于“内部观测者模式”时，系统需要遍历 N 个时钟来判断哪些位于其视野内，这个检测行为本身也引入了 $O(N)$ 的计算量。
- **内存压力与垃圾回收 (Memory Pressure and GC)**：实例化海量的游戏对象会占用大量内存，给引擎的垃圾回收机制带来压力。更频繁或更耗时的 GC 操作会引发 CPU 峰值，导致瞬时卡顿，这也解释了为何在极限规模下，惰性更新模式的 FPS 抖动值 (Jitter) 虽然远优于传统模式，但相比自身在低规模下的表现还是有轻微上扬。

4.3.3 结论

综上所述，惰性更新模式在极限规模下的性能下降，并非其核心理论失效，而是其**巨大成功**的体现。它成功地将最昂贵的“游戏逻辑”瓶颈彻底优化，使得更深层次的“引擎渲染与管理”瓶颈得以浮现。这份实验数据因此极具价值，它不仅验证了模型的有效性，更为未来的工程实践指明了方向：在应用惰性更新模型之后，下一个需要被优化的目标，将是引擎面对海量对象时的底层剔除与管理效率。

4.4 对“不可能三角”的启示

本次实证实验的成功，不仅仅是验证了一项优化技术，更重要的是，它从实践层面清晰地展示了“惰性更新世界模型”作为解决传统虚拟世界开发中“不可能三角”困境的一条可行路径。

- 规模 (Scale) 的突破：

实验最核心的结论——“规模不变性”，直接挑战了“不可能三角”的规模限制。传统模型因其 $O(N)$ 复杂度，在对象数量达到 65,536 时性能完全崩溃。而惰性更新模型通过将性能与总规模 N 解耦，在同等规模下依然维持了可交互的帧率。这证明了在逻辑计算层面上，构建一个拥有数万、乃至更高数量级动态对象的世界，在计算上已不再是遥不可及的幻想。

- 精细度 (Fidelity) 的释放：

通过极大地降低了非必要计算的开销（在极限测试下节省了 52.1% 的 CPU 资源），模型将原本被浪费掉的巨量计算资源释放了出来。这些宝贵的资源可以被重新投入到少数被观测的 K 个对象上，允许开发者为玩家当前正在交互的物体实现更复杂的物理模拟、更精细的材质表现和更智能的 AI 行为，从而在不牺牲宏大世界规模的前提下，显著提升核心区域的交互精细度。

- 成本 (Cost) 的降低：

“成本”在此处具有双重含义。首先，模型极大地降低了运行时的计算成本，使得在同等硬件上能够支撑远超以往的世界规模。其次，这也意味着能够显著降低对终端用户硬件成本的要求，让更广泛的玩家群体能够流畅体验宏大而细腻的虚拟世界，从而降低了玩家的进入门槛。

5. 结论 (Conclusion)

5.1 总结

本研究通过在 Unity 引擎中进行的一项严谨的实证实验，成功地对“以观测者为中心的惰性更新世界模型”的核心理论及其思想实验的预测进行了全面的验证。实验结果清晰地表明：

1. **性能优势的确认：**惰性更新模型在实践中展现了卓越的“规模不变性”，成功地将系统性能与世界中的对象总数 N 解耦。在高达 65,536 个对象的极限测试下，相较于性能已完全崩溃的传统更新模型，惰性更新模型依然实现了 **124.5% 的 FPS 提升**和 **52.1% 的 CPU 节省**，有力地证实了其 $O(K)$ 复杂度的优越性。
2. **逻辑一致性的保证：**通过定性观测，实验证明了尽管在外部开发者视角下绝大多数对象处于“静止”状态，但对于内部观测者视角而言，所有被观测对象的状态始终保持逻辑正确与连续。这证实了“压缩演化”机制的可靠性，成功在真实引擎中营造了“完美幻觉”。
3. **核心理论的实证：**实验中观测到的“内部视角”与“外部视角”的显著差异，为理论模型中基于“维度差异”的“双重参考系”概念，提供了直观且可复现的证据支持。

综上所述，本次实验的各项定量数据与定性观测结果，均与思想实验的预测高度一致，从而在实践层面确立了“惰性更新世界模型”的有效性与可靠性。

5.2 意义与展望

本次实验的成功，其意义超越了单纯的技术验证，它深刻地回应了虚拟世界开发中的根本性矛盾。实验结果表明，“惰性更新世界模型”为突破长期困扰行业的“不可能三角”困境，指明了一条清晰、可行的道路。它证明了一个核心观念的转变是正确的：

计算的最终目的，是为观测行为提供一个正确无误的结果，而非不计成本地模拟每一个无人感知的过程。

同时，本次实验也揭示了在解决了“游戏逻辑”这一主要瓶颈后，引擎底层的“渲染剔除”等 $O(N)$ 开销将成为下一个挑战。这为未来在更深层次上优化超大规模世界的引擎架构，提供了宝贵的洞察和明确的方向。

附录 A：测试平台配置详情

本次实证实验的所有性能数据采集均在以下统一的硬件与软件环境下完成，以确保测试结果的准确性与可复现性。

- **硬件配置 (Hardware Specifications):**
 - **处理器 (CPU):** 11th Gen Intel(R) Core(TM) i5-11400H @ 2.70GHz (6 Cores, 12 Threads)
 - **内存 (RAM):** 24.0 GB SODIMM @ 3200 MT/s
 - **主显卡 (GPU 0):** NVIDIA GeForce RTX 3060 Laptop GPU (6.0 GB GDDR6)
 - **集成显卡 (GPU 1):** Intel(R) UHD Graphics
 - **系统存储 (Disk 0):** NVMe INTEL SSDPEKNUS512GZ (477 GB)
 - **数据存储 (Disk 1):** NVMe KINGSTON SNV2S500G (466 GB)
- **软件环境 (Software Environment):**
 - **操作系统 (OS):** Windows 11
 - **开发引擎 (Development Engine):** Unity 2022.3.6f1
 - **集成开发环境 (IDE):** Microsoft Visual Studio 2022
 - **显卡驱动版本 (Graphics Driver Version):** NVIDIA 32.0.15.5607

附录 B：项目技术组件与第三方资源

本部分详细列出了“最奇怪时钟实验”项目在 Unity 中开发时所使用的核心自定义 C# 脚本以及集成的第三方资源，以确保技术细节的完整性。

B.1 项目核心 C# 脚本列表

以下是构成本次实验框架和逻辑的全部 C# 脚本文件：

- | | | |
|--------------------------|---------------------------|--------------------------|
| ● CameraController.cs | ● ExperimentController.cs | ● ObserverManager.cs |
| ● Clock.cs | ● ExperimentStateMachin | ● PerformanceMonitor.cs |
| ● ClockNumberDatabase.c | e.cs | ● RuntimeControlPanel.cs |
| s | ● ObjectManager.cs | ● TimeManager.cs |
| ● ClockVisualizer.cs | ● ObservableManager.cs | ● UIManager.cs |
| ● ConfigurationManager.c | ● ObservableRecordState. | ● ViewFieldDetector.cs |
| s | cs | |
| ● DataCollector.cs | ● ObserverController.cs | |

B.2 使用的第三方 Unity 资源

本项目使用了以下从 Unity Asset Store 获取的资源：

1. Modular Low Poly Letters and Icons

- 用途：用于场景中的 UI 文本和图标显示。
- 来源：<https://assetstore.unity.com/packages/3d/props/modular-low-poly-letters-and-icons-296956>

2. Clock FREE

- 用途：作为实验中核心对象“时钟”的基础模型。
- 来源：<https://assetstore.unity.com/packages/3d/props/interior/clock-free-44164>

附录 C：实验调试模式快捷键功能说明

本实验内置了一套强大的调试模式，允许实验者通过键盘快捷键实时控制和监测实验的各个方面。以下是所有调试按键的功能及其详细说明，主要由 `ExperimentController.cs` 脚本进行管理。

| 按键 | 核心功能 | 详细说明 | 相关脚本 |
|------------|------------|--|--------------------------------------|
| Z | 生成初始时钟 | 在场景中生成预设数量（ <code>debugClockCount</code> ）的时钟对象，但此时时间并未开始流动，所有时钟处于待机状态。 | <code>ExperimentController.cs</code> |
| X | 开始/暂停/恢复时间 | 首次按下后，启动全局主时间轴，所有时钟根据当前设定的模式开始计时。再次按下可在“暂停”和“恢复”之间切换。 | <code>ExperimentController.cs</code> |
| C | 追加时钟 | 在现有基础上，追加生成一批新的时钟（ <code>debugAddClockCount</code> ），新时钟的初始时间会接续之前最后一个时钟的时间。 | <code>ExperimentController.cs</code> |
| V | 清除所有时钟 | 立即停止时间流动，并销毁场景中所有已生成的时钟对象，重置实验状态。 | <code>ExperimentController.cs</code> |
| B | 切换更新模式 | 在“传统更新模式”（ <code>Traditional</code> ）和“惰性更新模式”（ <code>LazyUpdate</code> ）之间实时切换。 | <code>ExperimentController.cs</code> |
| N | 显示当前状态 | 在控制台（ <code>Console</code> ）中打印出详细的当前实验状态报告，包括时钟总数、活跃比例、主时间、各模式累计时间、FPS 等信息。 | <code>ExperimentController.cs</code> |
| M | 生成观测者 | 在场景中生成 3 个内部观测者（ <code>Observer</code> ）对象。 | <code>ExperimentController.cs</code> |
| G | 开始数据采集 | 启动一个为时 10 秒的性能数据自动采集过程，记录当前模式下的各项性能指标（FPS, CPU 占用率等）。 | <code>ExperimentController.cs</code> |
| Tab | 切换相机模式 | 仅在“惰性更新模式”下有效。用于切换上帝相机的工作状态：外部观测者（纯观察）和内部观测者（视野内触发更新）。 | <code>CameraController.cs</code> |
| W/A/S/D | 移动上帝相机 | 控制主相机在场景 XZ 平面上进行移动。 | <code>CameraController.cs</code> |
| Q/E 或 鼠标滚轮 | 缩放上帝相机 | 控制主相机的视野大小（正交相机的 <code>OrthoSize</code> ），实现场景的放大和缩小。 | <code>CameraController.cs</code> |
| 方向键 (↑↓←→) | 移动选中的观测者 | 移动当前被选中的内部观测者（ <code>Observer</code> ）对象。 | <code>ObserverController.cs</code> |
| F2 | 生成对比报告 | （由 <code>DataCollector</code> 提供）在控制台中生成一份详细的、对比两种模式性能数据的最终报告。 | <code>ExperimentController.cs</code> |
| F3 | 清除所有数据 | （由 <code>DataCollector</code> 提供）清除所有已采集的性能数据，以便重新开始一轮测试。 | <code>ExperimentController.cs</code> |
| F4 | 显示数据状态 | （由 <code>DataCollector</code> 提供）在控制台中显示当前已采集数据的完整性状态。 | <code>ExperimentController.cs</code> |
| Home | 重置相机视角 | 将上帝相机恢复到预设的初始位置和视野大小，便于快速返回全局俯瞰视角。 | <code>CameraController.cs</code> |
| Shift (左) | 相机加速移动 | 按住时，上帝相机的移动速度会乘以 <code>speedMultiplier</code> 倍，实现快速移动。 | <code>CameraController.cs</code> |

附录 E：补充材料与外部链接

为确保本实验的完全透明性与可复现性，所有相关的原始数据、项目搭建手册及核心源代码均已托管，可通过以下链接访问。

E.1 Unity 项目搭建手册

- **描述：**该文档详细记录了本次实验在 Unity 引擎中从零开始搭建测试场景的完整步骤，包括场景层次结构、所有核心组件的详细参数配置、预制体（Prefab）的设置等。
- **链接：**<https://github.com/junminglazy/Lazy-Update-World-Model/tree/main/doc>

E.2 完整性能数据日志

- **描述：**该文件包含了 DataCollector 脚本在实验过程中记录的全部、未经处理的原始控制台输出。其中详细记录了在不同时钟数量规模下，“传统更新模式”与“惰性更新模式”的各项性能指标快照。
- **链接：**<https://github.com/junminglazy/Lazy-Update-World-Model/tree/main/data>